

CAPÍTULO 3: TRANSFORMADA DISCRETA DE FOURIER

Transformada de Fourier

$$X(f) = \int_{-\infty}^{\infty} x(t) e^{-j2\pi ft} dt$$



Transformada Discreta de Fourier

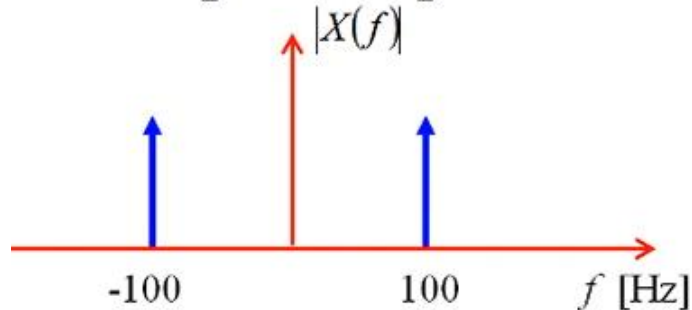
$$X(k) = \sum_{n=0}^{N-1} x(n) e^{-j2\pi \frac{kn}{N}} \quad k = 0, 1, \dots, N-1$$

EJEMPLO

$$x(t) = \cos(2\pi f_0 t) \quad f_0 = 100 \text{ Hz} \quad f_s = 1000 \text{ Hz}$$

TF de la señal:

$$X(f) = \frac{1}{2} \delta(f - f_0) + \frac{1}{2} \delta(f + f_0)$$



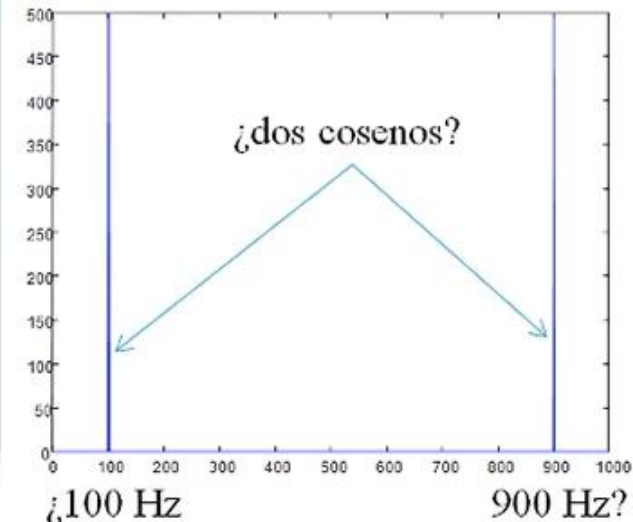
clear all

% Generación de la señal
% discreta en el tiempo

f0=100 % Hz
fs= 1000 % Hz
n=0:999;
x=cos(2*pi*(f0/fs)*n);

%obtención de la TDF
Xk=fft(x);
plot(abs(Xk))

TDF de la señal:



Transformada de Fourier

$$X(f) = \int_{-\infty}^{\infty} x(t) e^{-j2\pi ft} dt$$



Transformada Discreta de Fourier

$$X(k) = \sum_{n=0}^{N-1} x(n) e^{-j2\pi \frac{kn}{N}} \quad k = 0, 1, \dots, N-1$$

PROCESOS INVOLUCRADOS:

- Muestreo temporal:

$$x(t) \rightarrow x(nT_s) \quad -\infty < n < \infty$$

- Señales discretas en el tiempo de duración finita:

$$x(nT_s) \quad -\infty < n < \infty \rightarrow x(nT_s) \quad 0 < n < N-1$$

- Muestreo del espectro:

$$X(f) \quad -\infty < f < \infty \rightarrow X(k\Delta f) \quad 0 < k < N-1$$

¿Implicaciones?

3.1 Transformada de Fourier Discreta en el Tiempo (TFDT)

➤ Muestreo temporal:

$$x(t) \rightarrow x(nT_s) \quad -\infty < n < \infty$$

Transformada de Fourier

$$X(f) = \int_{-\infty}^{\infty} x(t) e^{-j2\pi ft} dt$$

Transformada de Fourier Discreta en el Tiempo

$$X(f) = \sum_{n=-\infty}^{\infty} x(nT_s) e^{-j2\pi fnT_s} \quad -\infty < f < \infty$$

Si consideramos, en general, un $T_s=1$ (un espaciado unitario entre cada muestra):

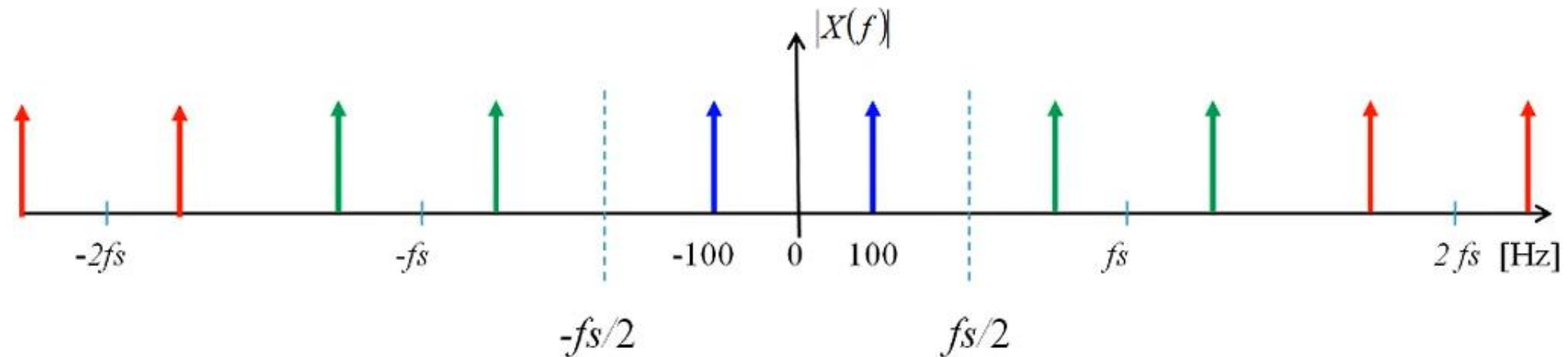
$$X(f) = \sum_{n=-\infty}^{\infty} x(n) e^{-j2\pi fn} \quad \text{o} \quad X(e^{j\omega}) = X(\omega) = \sum_{n=-\infty}^{\infty} x(n) e^{-j\omega n}$$

Primero que nada recordemos cuál es el espectro de una señal discreta en el tiempo, utilicemos de nuevo el ejemplo anterior:

$$x(t) = \cos(2\pi f_0 t) \quad f_0 = 100 \text{ Hz} \quad f_s = 1000 \text{ Hz}$$

$$x(nTs) = \cos(2\pi f_0 nTs) = \cos(\pi(f_0 / f_s)n)$$

$$X_{nTs}(f) = \sum_{k=-\infty}^{\infty} \left[\frac{1}{2} \delta(f - kf_0) + \frac{1}{2} \delta(f + kf_0) \right]$$



Muestreo temporal ➡ Periodización del espectro

¿Cumple con esto la Transformada de Fourier Discreta en el Tiempo?
Determinando si es periódica o no:

$$X(\omega + \omega_T) = \sum_{n=-\infty}^{\infty} x(n) e^{-j(\omega + \omega_T)n} = \sum_{n=-\infty}^{\infty} x(n) e^{-j\omega_T n} e^{-j\omega n}$$

$$e^{-j\omega_T n} = \cos(\omega_T n) - j\sin(\omega_T n) = 1$$

$$\Rightarrow \omega_T n = 2\pi k \quad \Rightarrow \omega_T = 2\pi k$$

De esto, el espectro dado por la TFDT se repite cada $2\pi k$:

$$X(\omega) = \sum_{n=-\infty}^{\infty} x(n) e^{-j\omega n} = X(\omega + 2\pi k)$$

Entonces si incluimos un T_s diferente de 1 en la formula de la TFDT, obtenemos que el espectro se repite cada múltiplo entero de f_s :

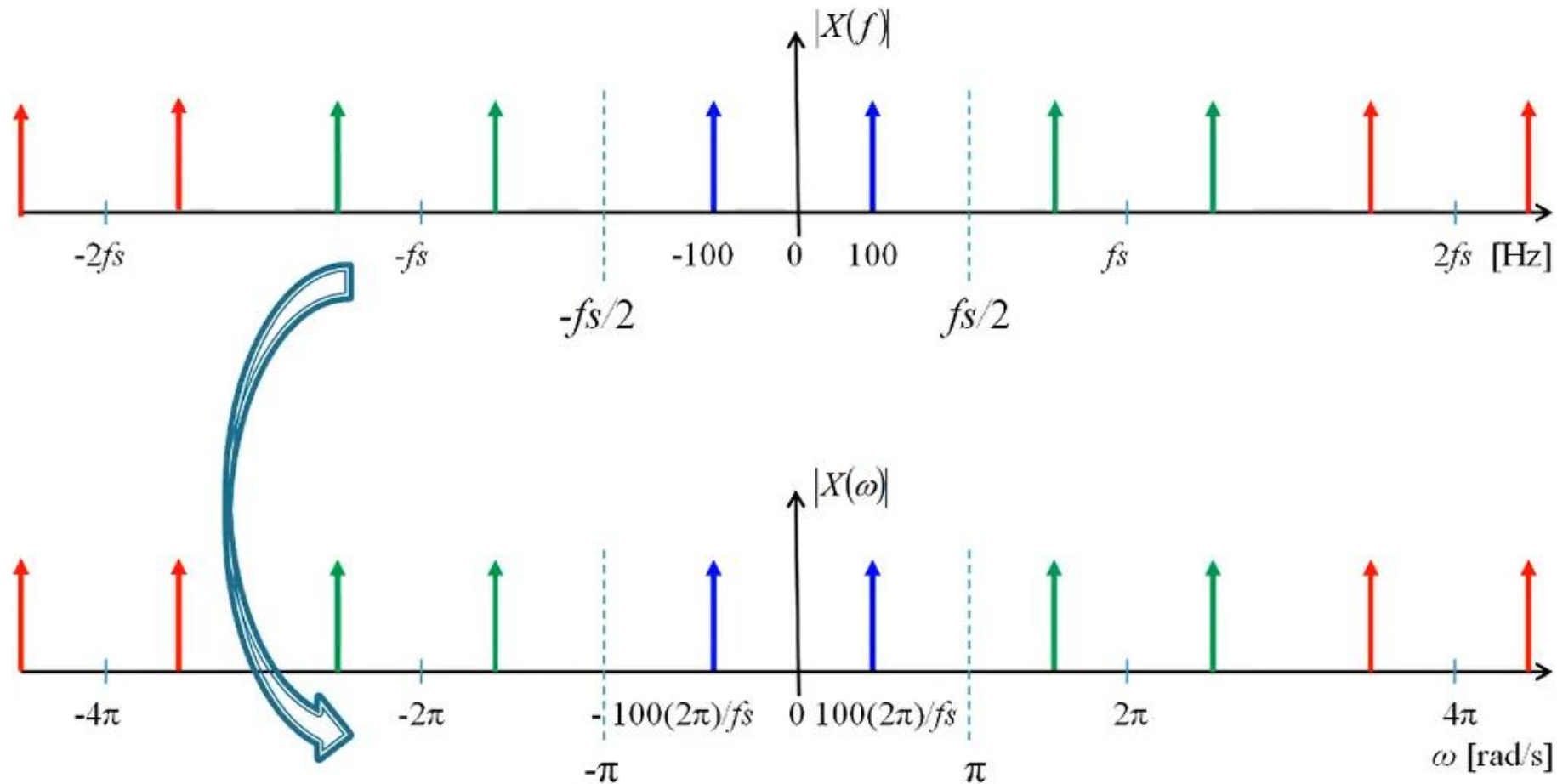
$$X(f + f_T) = \sum_{n=-\infty}^{\infty} x(n) e^{-j2\pi(f+f_T)nT_s} = \sum_{n=-\infty}^{\infty} x(n) e^{-j2\pi f_T n T_s} e^{-j2\pi f n T_s}$$

$$e^{-j2\pi f_T n T_s} = \cos(2\pi f_T n T_s) - j \sin(2\pi f_T n T_s) = 1$$

$$\Rightarrow 2\pi f_T n T_s = 2\pi k \quad \Rightarrow \boxed{f_T = \frac{k}{T_s} = k f_s}$$



Muestreo temporal ➡ Periodización del espectro

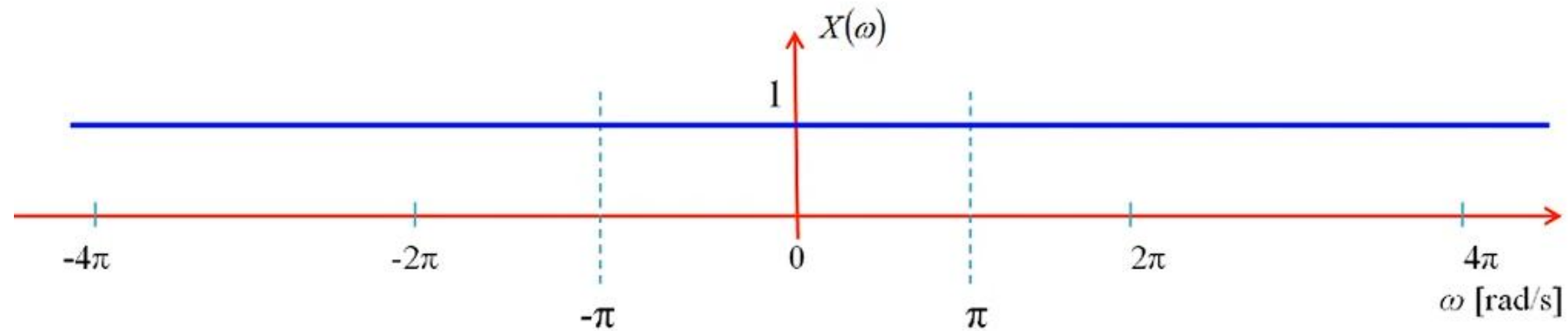


Las dos escalas frecuenciales, en Hz o rad/s, son coincidentes

Ejemplos de la TFDT

$$x(n) = \delta(n)$$

$$X(\omega) = \sum_{n=-\infty}^{\infty} \delta(n) e^{-j\omega n} = e^{-j\omega(0)} = 1$$



Espectro similar al de una delta de Dirac

Ejemplos de la TFDT

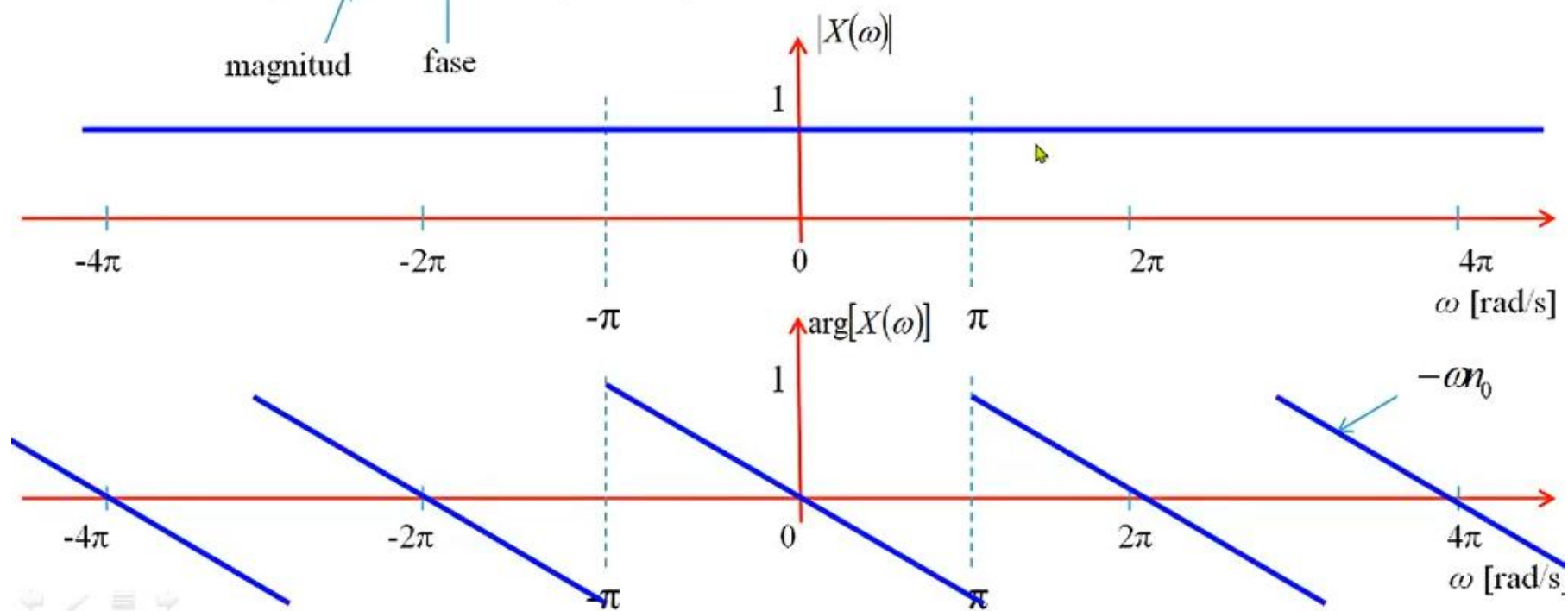
$$x(n) = \delta(n - n_0)$$

$$X(\omega) = \sum_{n=-\infty}^{\infty} \delta(n - n_0) e^{-j\omega n} = e^{-j\omega(n_0)}$$

$$X(\omega) = (1) e^{-j\omega n_0} = |X(\omega)| e^{j \arg[X(\omega)]}$$

magnitud

fase

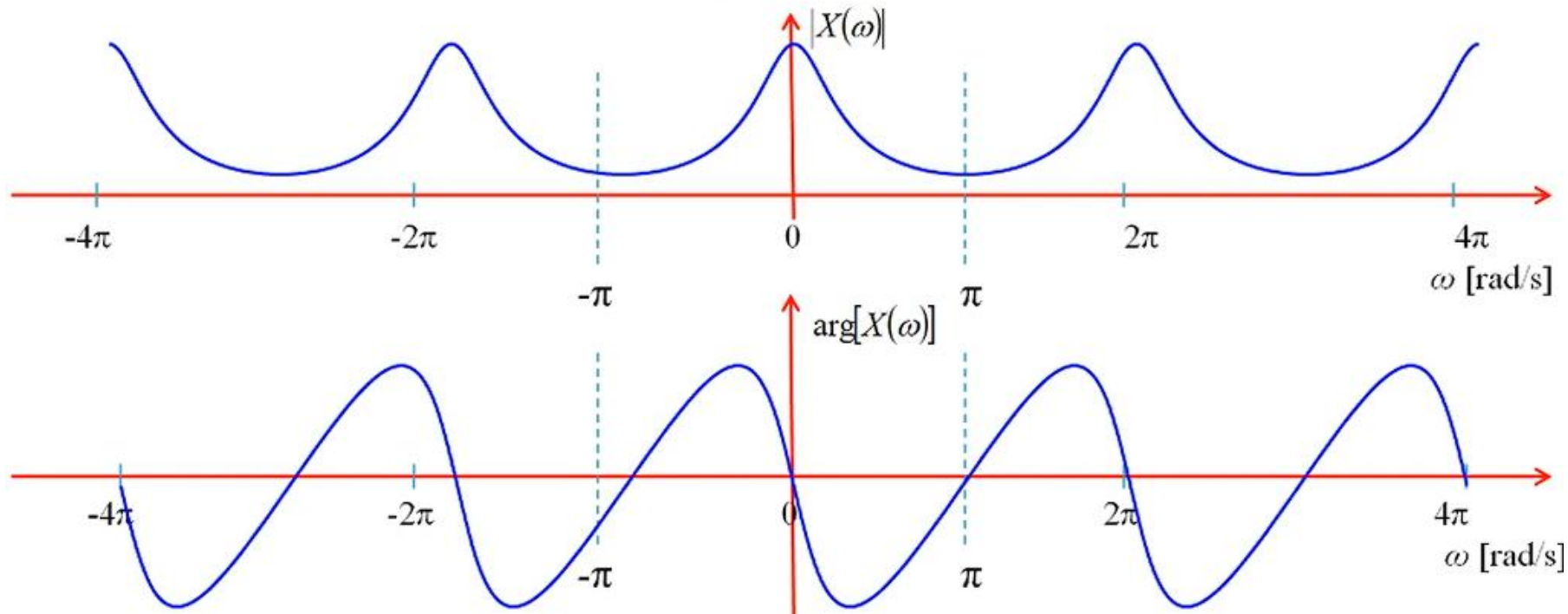


Ejemplos de la TFDT

$$x(n) = a^n u(n) \quad |a| < 1$$

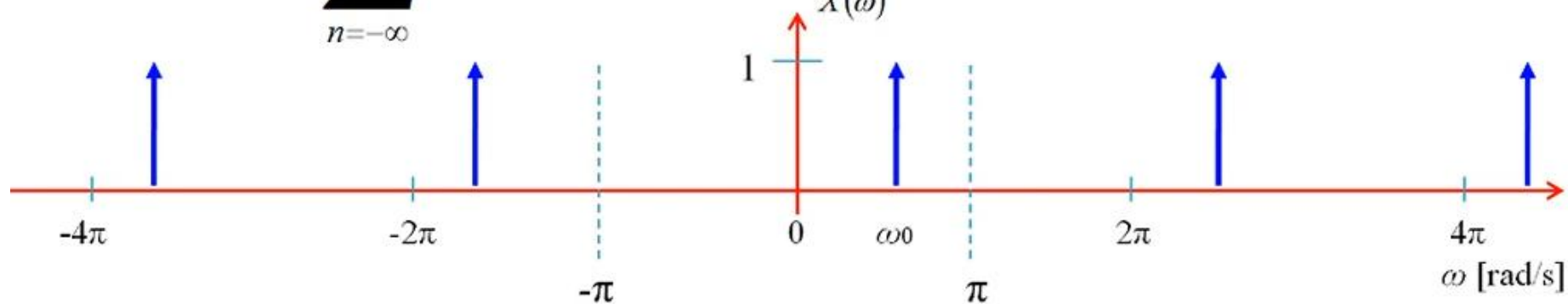
$$X(\omega) = \sum_{n=-\infty}^{\infty} a^n u(n) e^{-j\omega n} = \sum_{n=0}^{\infty} a^n e^{-j\omega n} = \sum_{n=0}^{\infty} (ae^{-j\omega})^n$$

$$X(\omega) = \frac{(ae^{-j\omega})^0 - (ae^{-j\omega})^{\infty}}{1 - ae^{-j\omega}} = \frac{1}{1 - ae^{-j\omega}}$$



Ejemplos de la TFDT

$$X(\omega) = \sum_{n=-\infty}^{\infty} 2\pi\delta(\omega - \omega_0 + 2\pi k)$$



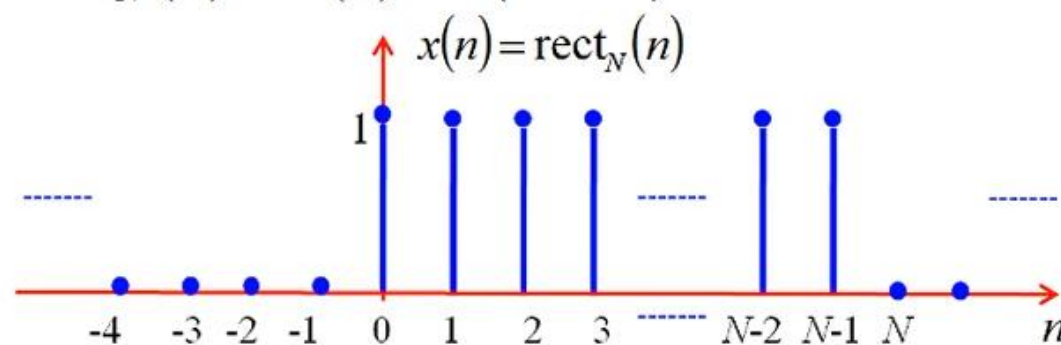
$$x(n) = \frac{1}{2\pi} \int_{-\pi}^{\pi} \sum_{n=-\infty}^{\infty} 2\pi\delta(\omega - \omega_0 + 2\pi k) e^{j\omega n} d\omega$$

$$= \int_{-\pi}^{\pi} \delta(\omega - \omega_0) e^{j\omega n} d\omega = e^{j\omega_0 n}$$

$$x(n) = e^{j\omega_0 n} = \cos(\omega_0 n) + j\sin(\omega_0 n)$$

Ejemplos de la TFDT

$$x(n) = \text{rect}_N(n) = u(n) - u(n - N)$$

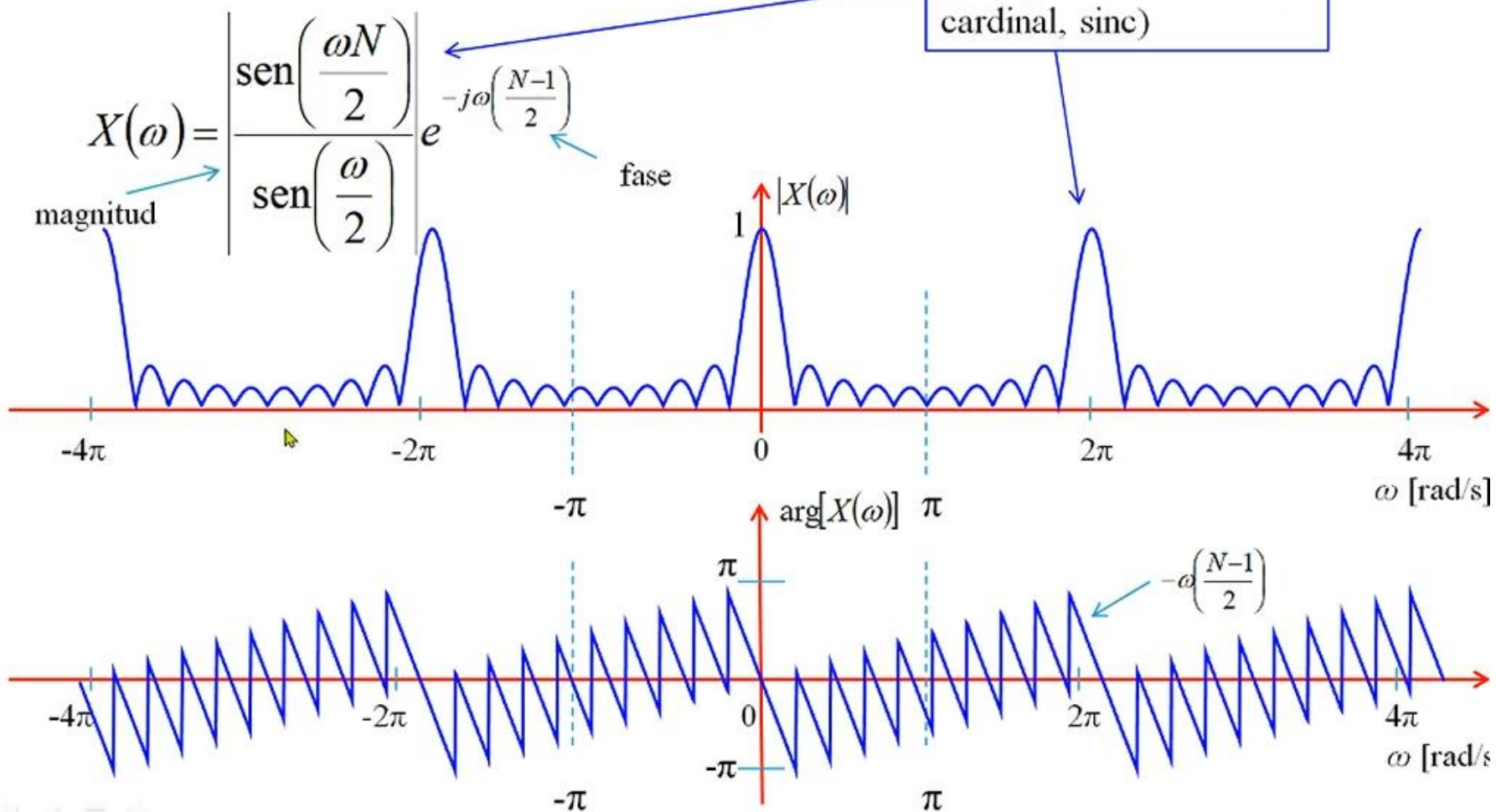


$$X(\omega) = \sum_{n=-\infty}^{\infty} x(n) e^{-j\omega n} = \sum_{n=-\infty}^{\infty} \text{rect}_N(n) e^{-j\omega n} = \sum_{n=0}^{N-1} (1) e^{-j\omega n}$$

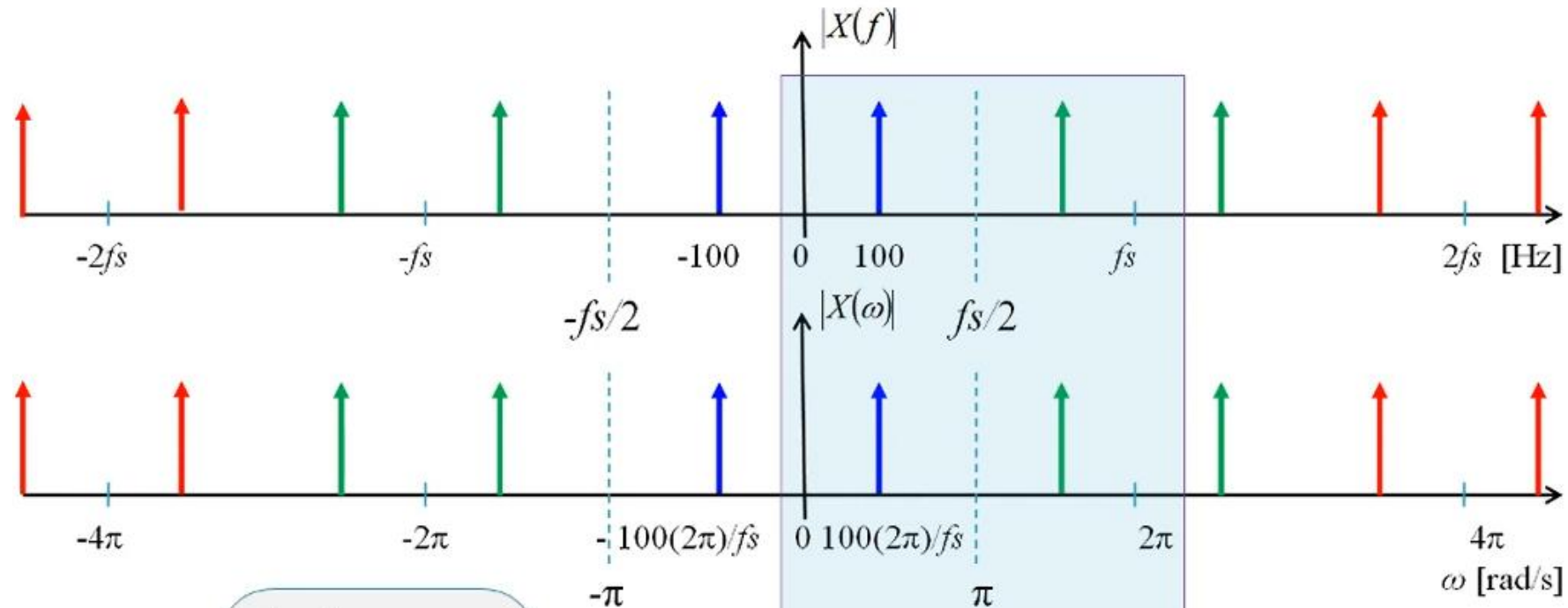
$$X(\omega) = \frac{e^{-j\omega(0)} - e^{-j\omega(N-1+1)}}{1 - e^{-j\omega}} = \frac{1 - e^{-j\omega N}}{1 - e^{-j\omega}} = \frac{e^{-j\omega \frac{N}{2}} \left[e^{j\omega \frac{N}{2}} - e^{-j\omega \frac{N}{2}} \right]}{e^{-j\omega \frac{1}{2}} \left[e^{j\omega \frac{1}{2}} - e^{-j\omega \frac{1}{2}} \right]}$$

$$X(\omega) = e^{-j\omega\left(\frac{N-1}{2}\right)} \frac{\text{sen}\left(\omega \frac{N}{2}\right)}{\text{sen}\left(\frac{\omega}{2}\right)} = |X(\omega)| e^{j\arg[X(\omega)]}$$

Función de Dirichlet
(muy parecida a un seno
cardinal, sinc)



Muestreo temporal → Periodización del espectro

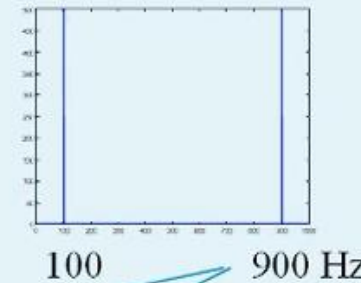


```
clear all

% Generación de la señal
% discreta en el tiempo

f0=100 % Hz
fs= 1000 % Hz
n=0:999;
N=length(n);
x=cos(2*pi*(f0/fs)*n);

%obtención de la TDF
Xk=fft(x);
f=(0:N-1)*(fs/N);
plot(f,abs(Xk))
```



¡Crear eje de frecuencias!

3.2 Ventaneo de la señal discreta en el tiempo

➤ Señales discretas en el tiempo de duración finita:

$$x(nT_s) \quad -\infty < n < \infty \quad \rightarrow \quad x(nT_s) \quad 0 < n < N-1$$

Transformada de Fourier Discreta en el Tiempo

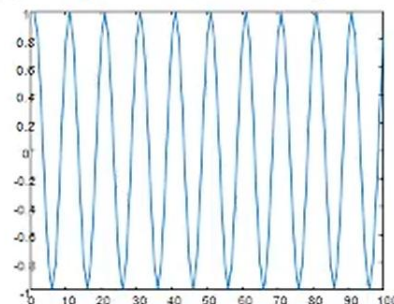
$$X(\omega) = \sum_{n=-\infty}^{\infty} x(n) e^{-j\omega n}$$



$$X(\omega) = \sum_{n=0}^{N-1} x(n) e^{-j\omega n}$$

EJEMPLO

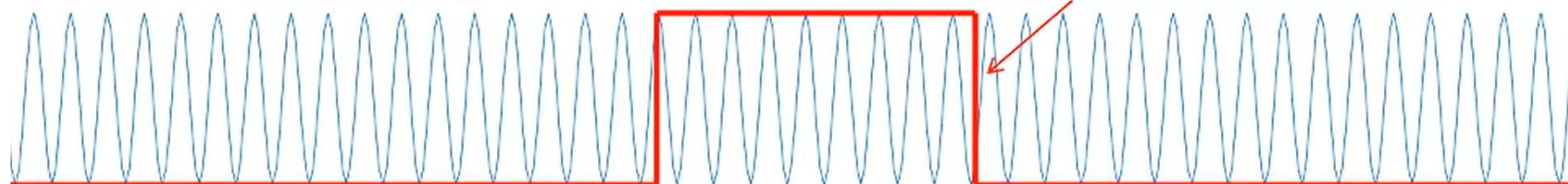
$$x(t) = \cos(2\pi f_0 t) \quad f_0 = 100 \text{ Hz} \quad f_s = 1000 \text{ Hz}$$

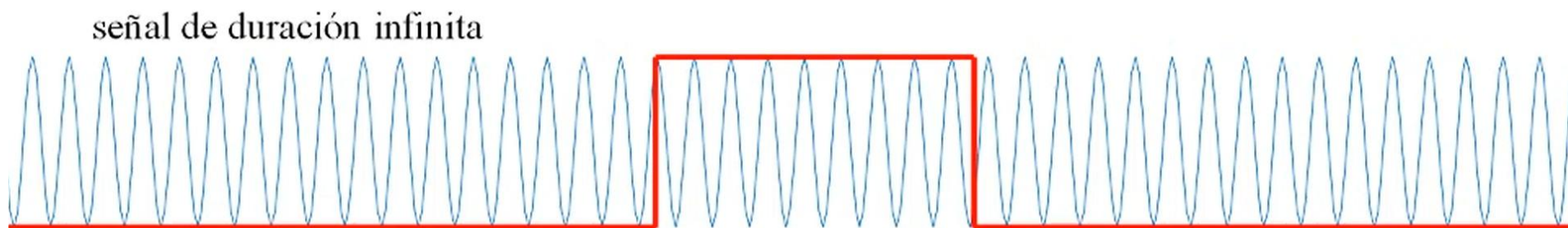


señal de duración finita

señal de duración infinita

ventana de truncamiento





$$x_T(nT_s) = x(nT_s)w(nT_s)$$

$$x_T(n) = x(n)w(n)$$

ventana de truncamiento

Obteniendo la TFDT de la señal truncada y utilizando la propiedad de convolución:

$$X_T(\omega) = \text{TFDT}\{x(n)\} * \text{TFDT}\{w(n)\}$$

$$X_T(\omega) = X(\omega) * W(\omega)$$

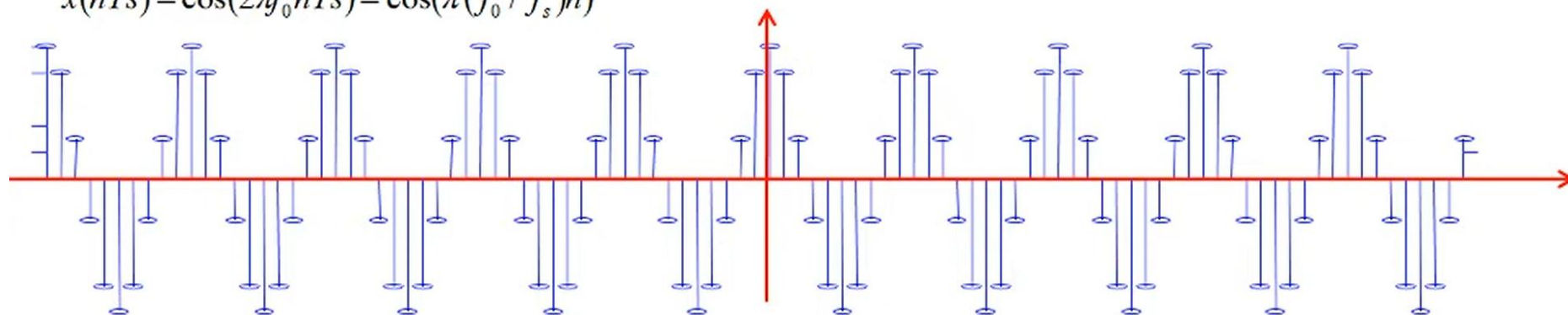
Espectro Original de la
señal sin trincar

Espectro de la
ventana de truncamiento

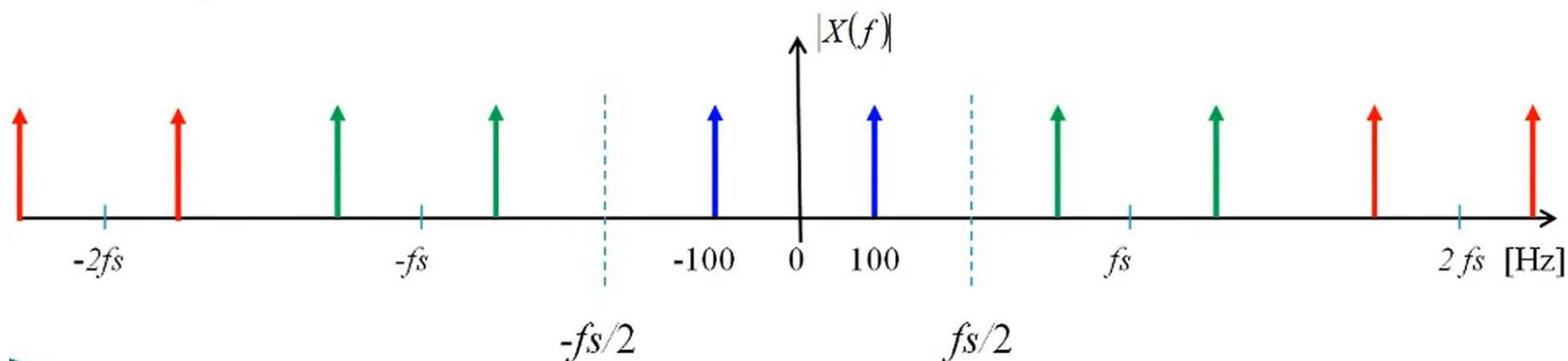
EJEMPLO

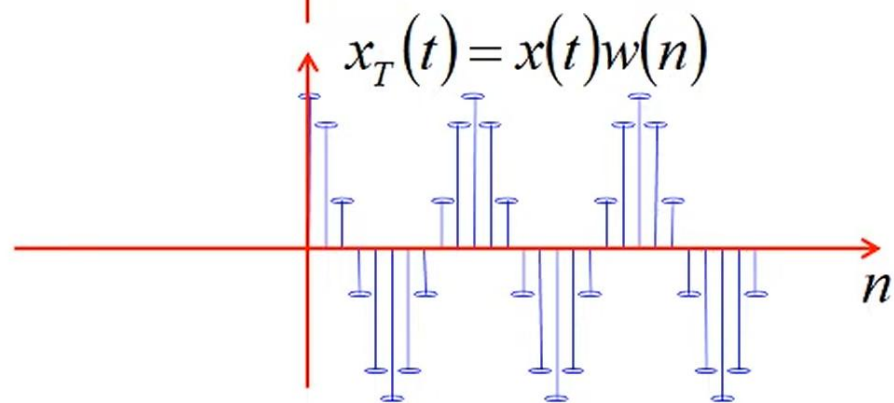
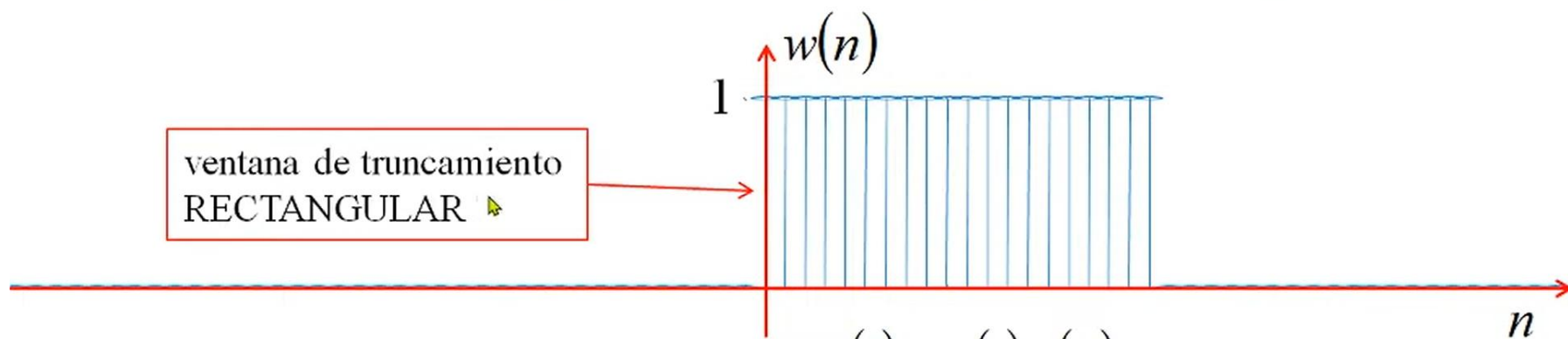
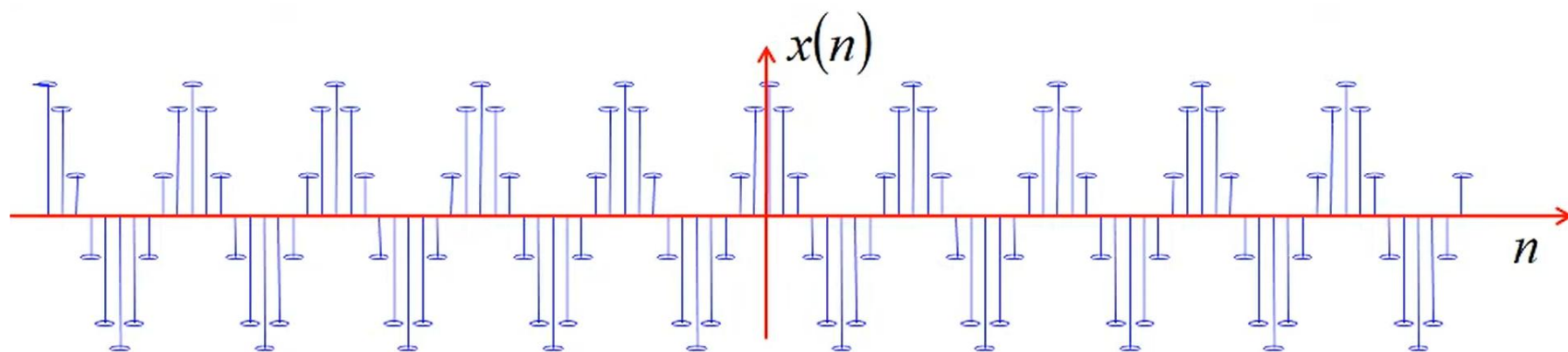
$$x(t) = \cos(2\pi f_0 t) \quad f_0 = 100 \text{ Hz} \quad f_s = 1000 \text{ Hz}$$

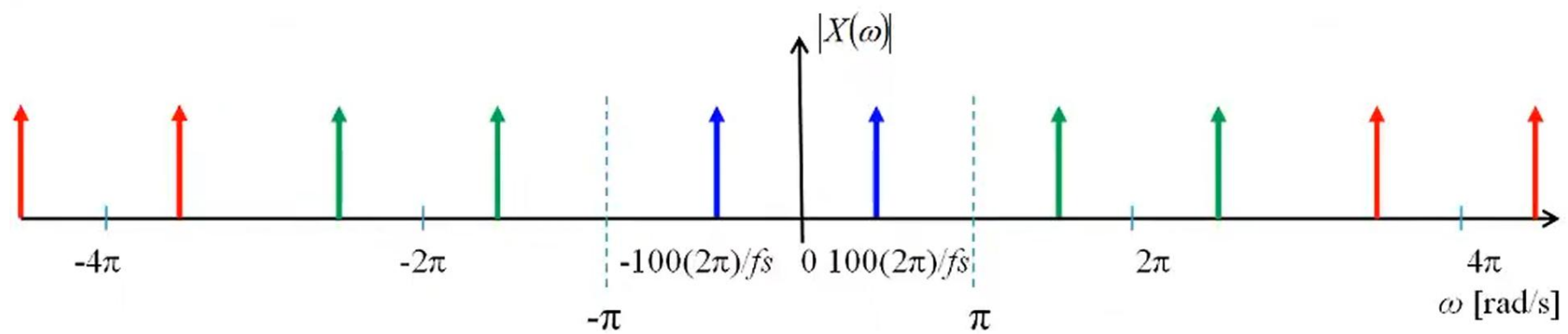
$$x(nTs) = \cos(2\pi f_0 nTs) = \cos(\pi(f_0 / f_s)n)$$



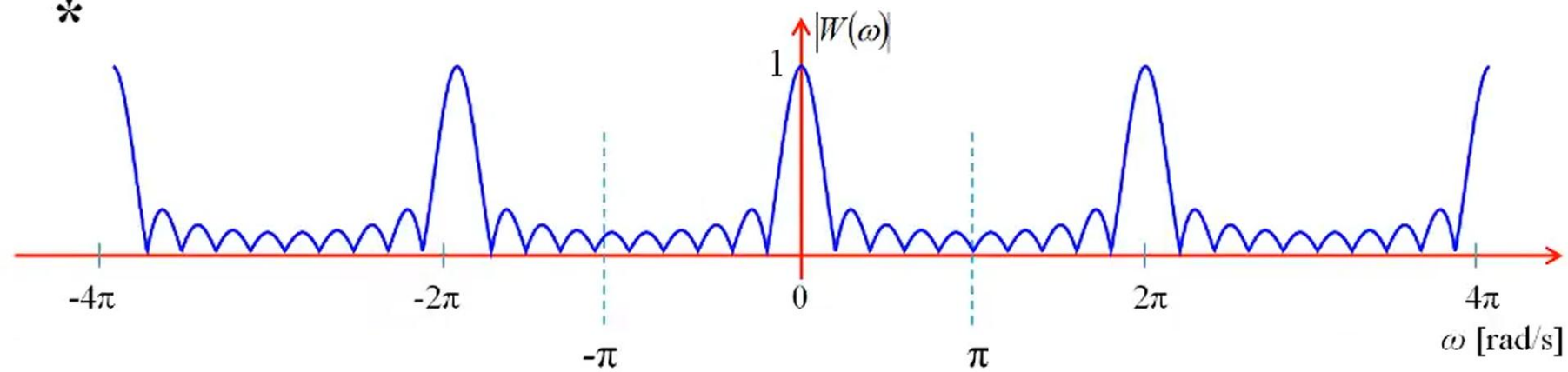
$$X_{nT_s}(f) = \sum_{k=-\infty}^{\infty} \left[\frac{1}{2} \delta(f - f_0 - kf_s) + \frac{1}{2} \delta(f + f_0 + kf_s) \right] \quad \text{ó} \quad X(\omega) = \sum_{k=-\infty}^{\infty} [\pi \delta(\omega - \omega_0 - 2\pi k) + \pi \delta(\omega + \omega_0 + 2\pi k)]$$



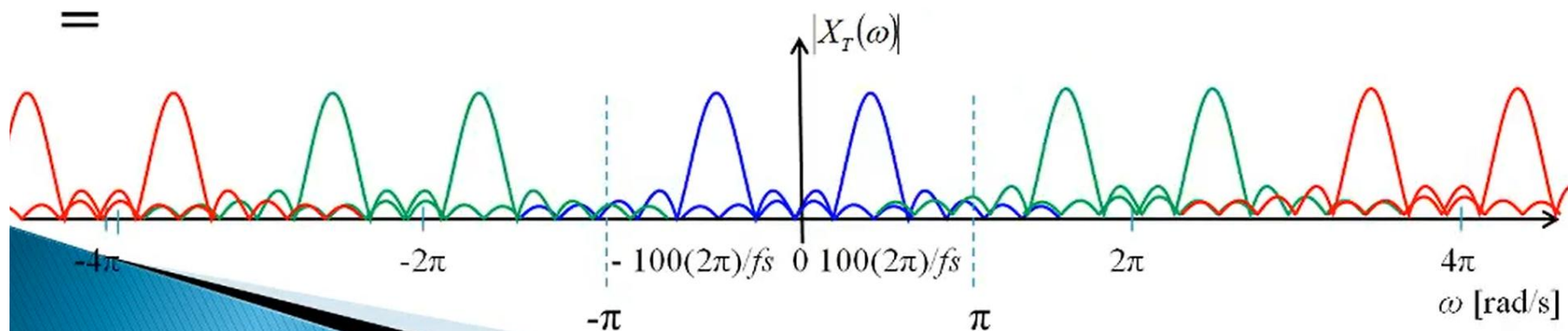




$*$



$=$



En este caso:

$$X_T(\omega) = \text{TFDT}\{x(n)\} * \text{TFDT}\{w(n)\}$$

$$X_T(\omega) = X(\omega) * W(\omega) = \sum_{k=-\infty}^{\infty} (\pi \delta(\omega - \omega_0 - 2\pi k) + \pi \delta(\omega + \omega_0 + 2\pi k)) * \left[e^{-j\omega \frac{(N-1)}{2}} \frac{\text{sen}\left(\frac{\omega N}{2}\right)}{\text{sen}\left(\frac{\omega}{2}\right)} \right]$$

$$|X_T(\omega)| = \sum_{k=-\infty}^{\infty} \left(\pi \frac{\text{sen}\left(\frac{(\omega - \omega_0 - 2\pi k)N}{2}\right)}{\text{sen}\left(\frac{(\omega - \omega_0 - 2\pi k)}{2}\right)} + \pi \frac{\text{sen}\left(\frac{(\omega + \omega_0 + 2\pi k)N}{2}\right)}{\text{sen}\left(\frac{(\omega + \omega_0 + 2\pi k)}{2}\right)} \right)$$

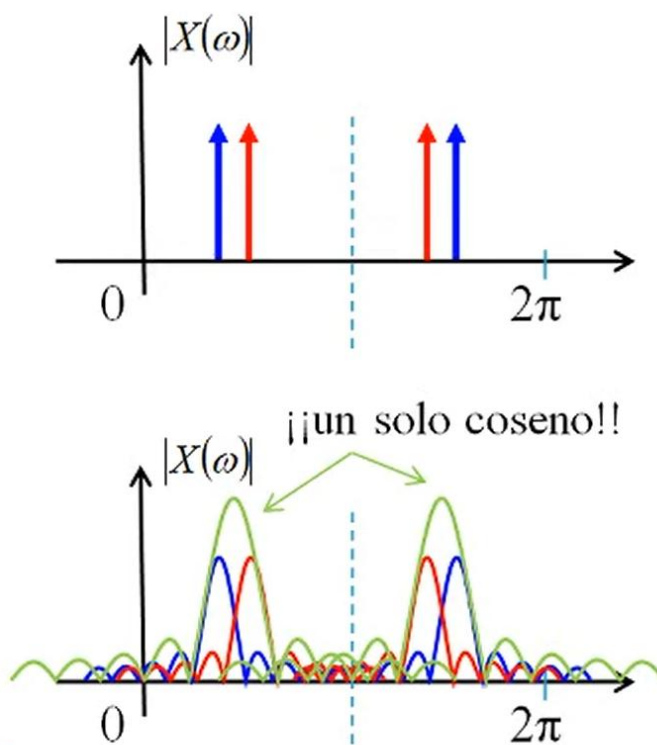


3.3 Observación (resolución) Espectral

Con base en lo anterior, se presenta un **gran problema**:

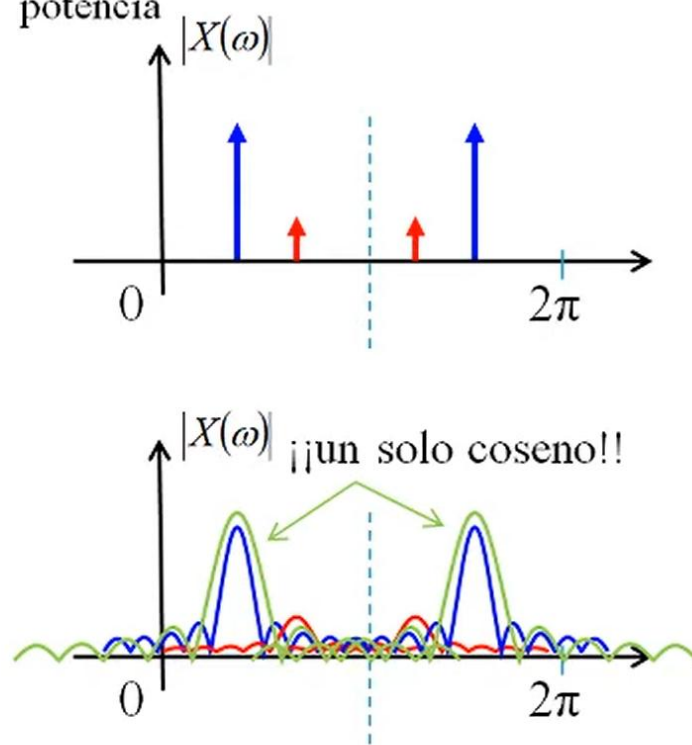
EJEMPLO 1

suma de dos cosenos muy cercanos



EJEMPLO 2

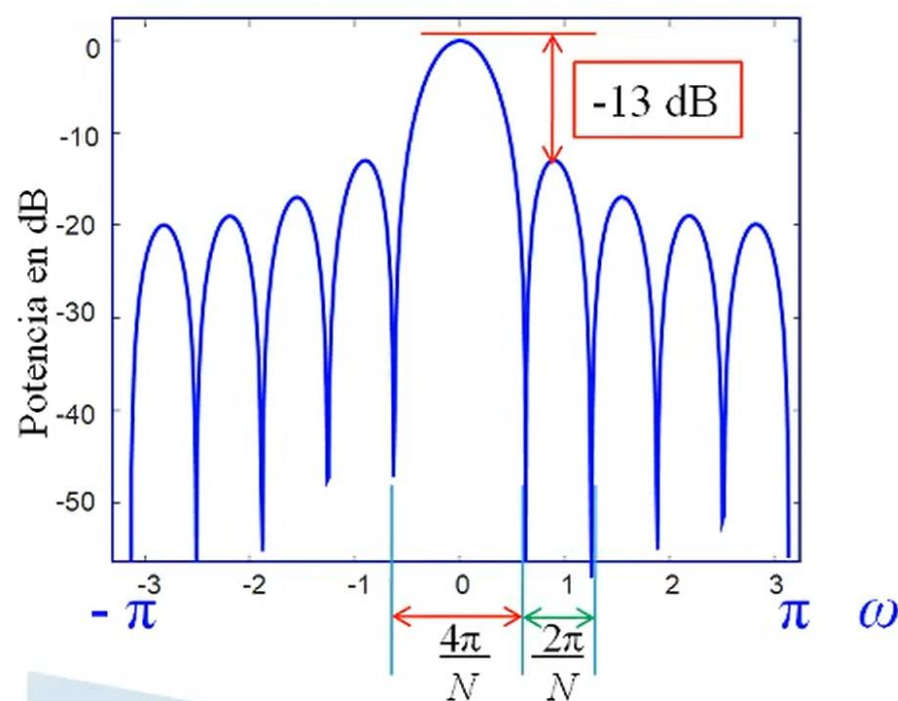
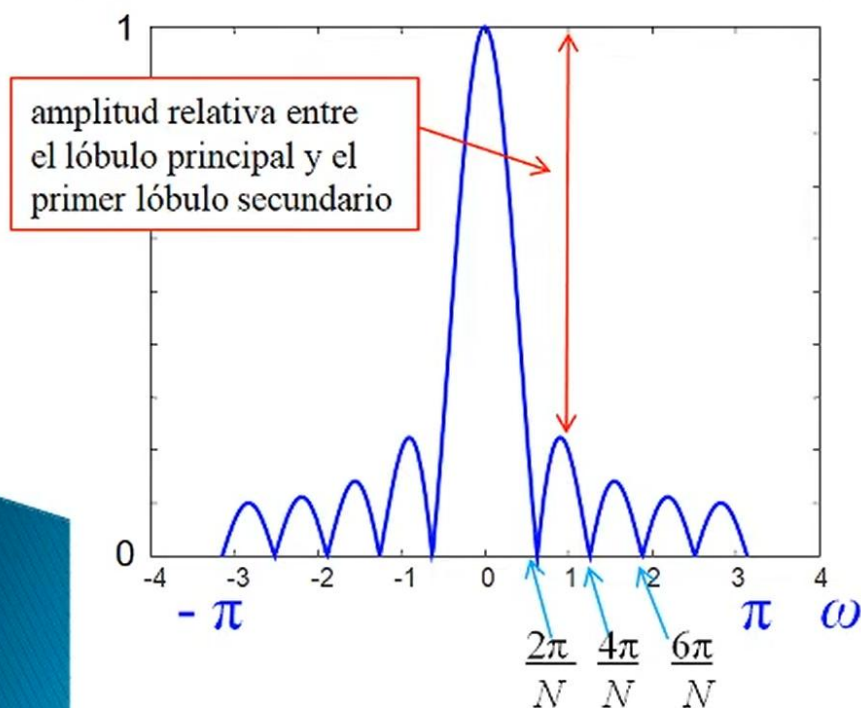
suma de dos cosenos, uno de ellos con poca potencia



Analicemos en detalle el espectro de la **ventana rectangular**

$$|W(\omega)| = \left| \frac{\text{sen}\left(\frac{\omega N}{2}\right)}{\text{sen}\left(\frac{\omega}{2}\right)} \right|$$

y grafiquémoslo en un solo periodo $[-\pi, \pi]$ (ó $[-f_s/2, f_s/2]$)



De aquí, el poder separar **dos frecuencias cercanas** depende del **número de puntos N** de la **señal discreta** (truncada), sin embargo separar **dos frecuencias cercanas con diferentes potencias** depende además de la **amplitud relativa entre el lóbulo principal y el primer lóbulo secundario**.

EJEMPLO: Cosenos de frecuencias cercanas y de la misma potencia

$$x(t) = \cos(2\pi f_0 t) + \cos(2\pi f_1 t) \quad f_0 = 100 \text{ Hz} \quad f_1 = 110 \text{ Hz} \quad f_s = 1000 \text{ Hz}$$

```
clear all
```

```
% Generación de la señal discreta en  
% el tiempo
```

```
f0=100 % Hz coseno 1
```

```
f1=110 % Hz coseno 2
```

```
fs= 1000 % Hz freq. Muestreo
```

```
N=100; % número de puntos
```

```
n=0:N-1;
```

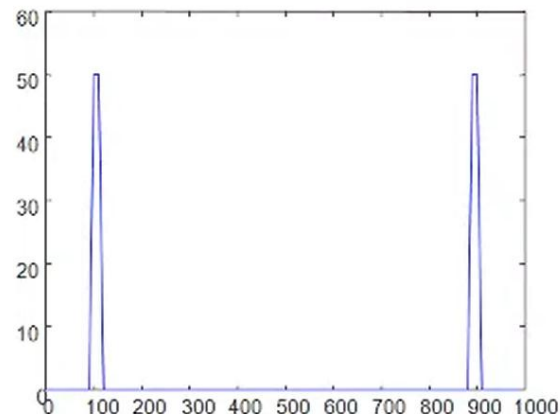
```
x=cos(2*pi*(f0/fs)*n)+cos(2*pi*(f1/fs)*n);
```

```
%obtención de la TDF
```

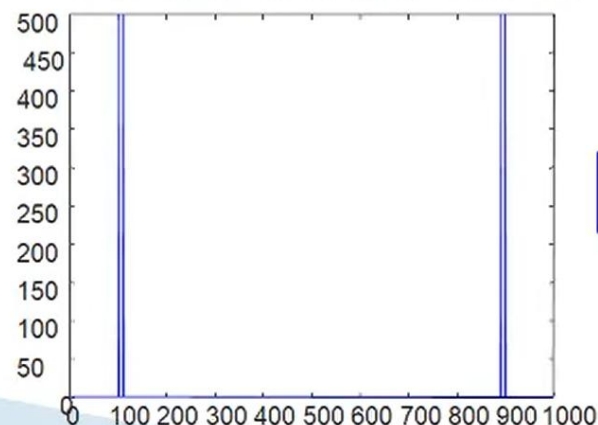
```
Xk=fft(x);
```

```
f=(0:N-1)*(fs/N);
```

```
plot(f, abs(Xk))
```



$N=100$ puntos



$N=1000$ puntos

EJEMPLO: Cosenos de frecuencias cercana y diferentes potencias

$$x(t) = \cos(2\pi f_0 t) + \cos(2\pi f_1 t) \quad f_0 = 100 \text{ Hz} \quad f_1 = 110 \text{ Hz} \quad f_s = 1000 \text{ Hz}$$

```
clear all
```

```
% Generación de la señal discreta en  
% el tiempo
```

```
f0=100 % Hz coseno 1
```

```
f1=110 % Hz coseno 2
```

```
fs= 1000 % Hz freq. Muestreo
```

```
N=1000; % número de puntos
```

```
n=0:N-1;
```

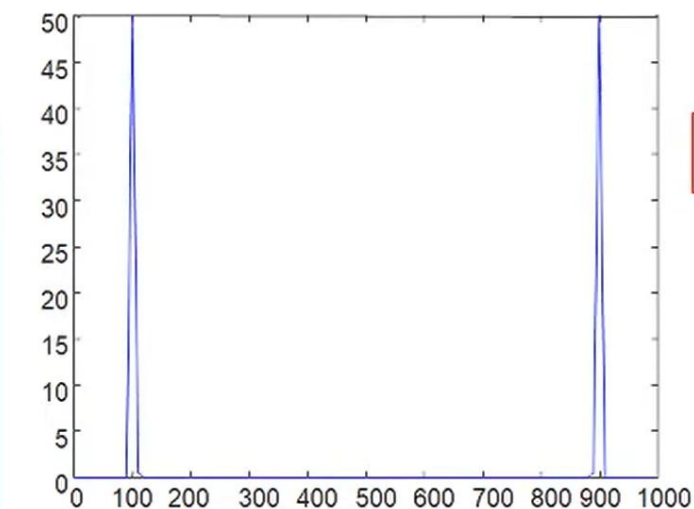
```
x=cos(2*pi*(f0/fs)*n)+0.0001*cos(2*pi*(f1/fs)*n);
```

```
%obtención de la TDF
```

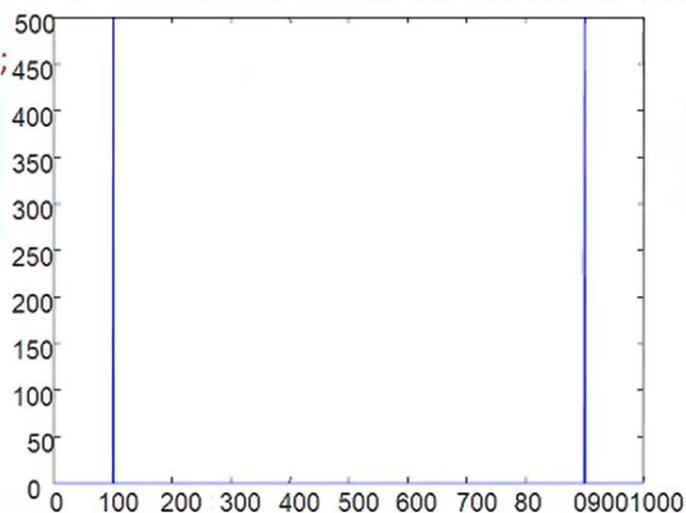
```
Xk=fft(x);
```

```
f=(0:N-1)*(fs/N);
```

```
plot(f, abs(Xk))
```

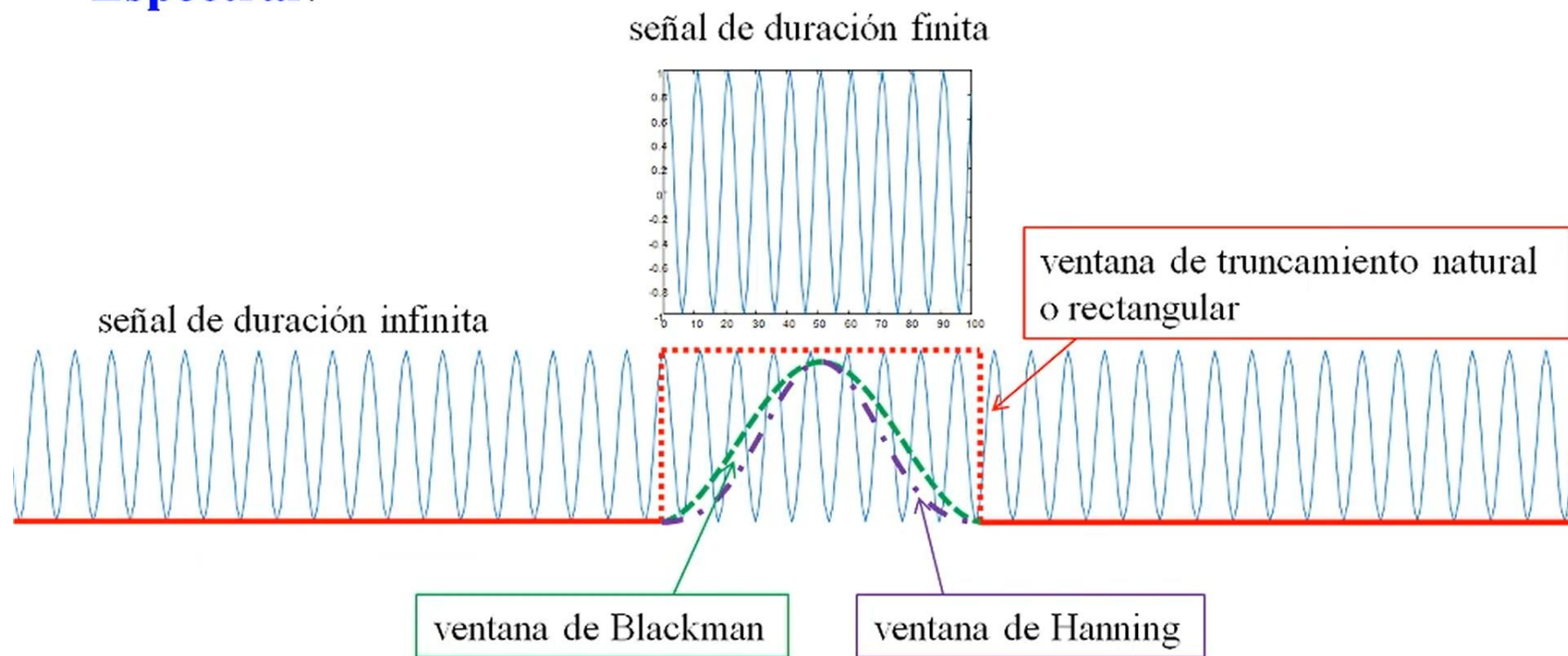


$N=100$ puntos



$N=1000$ puntos

¿Es posible tener una solución a este problema de **Resolución Espectral**?



¡Utilizar otras ventanas de ponderación!

Ventanas de ponderación (algunas)

Rectangular

$$w[n] = \begin{cases} 1, & 0 \leq n \leq M, \\ 0, & \text{otherwise} \end{cases}$$

Bartlett (triangular)

$$w[n] = \begin{cases} 2n/M, & 0 \leq n \leq M/2, \\ 2 - 2n/M, & M/2 < n \leq M, \\ 0, & \text{otherwise} \end{cases}$$

Hanning

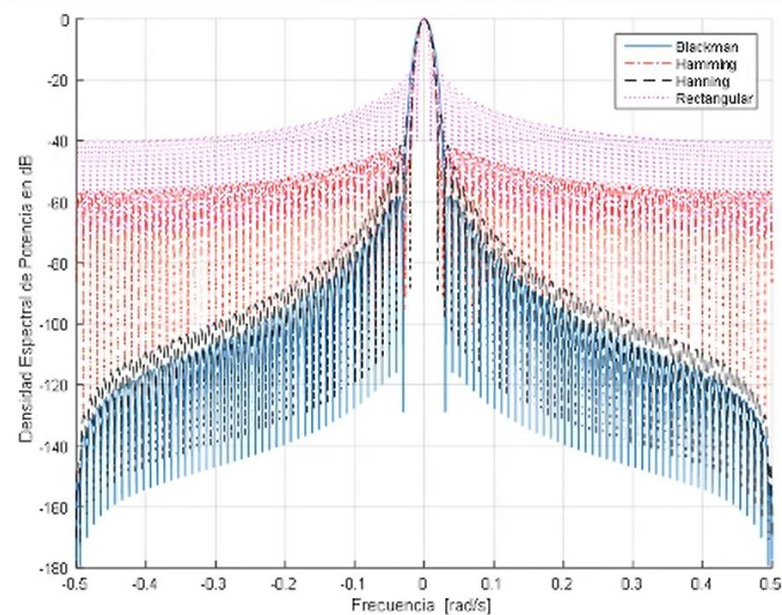
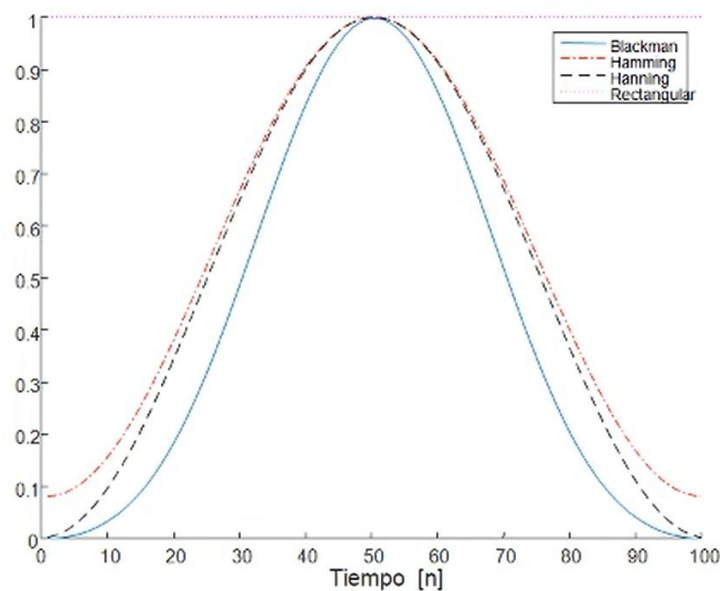
$$w[n] = \begin{cases} 0.5 - 0.5 \cos(2\pi n/M), & 0 \leq n \leq M, \\ 0, & \text{otherwise} \end{cases}$$

Hamming

$$w[n] = \begin{cases} 0.54 - 0.46 \cos(2\pi n/M), & 0 \leq n \leq M, \\ 0, & \text{otherwise} \end{cases}$$

TABLE 7.1 COMPARISON OF COMMONLY USED WINDOWS

Type of Window	Peak Side-Lobe Amplitude (Relative)	Approximate Width of Main Lobe	Peak Approximation Error, $20 \log_{10} \delta$ (dB)	Equivalent Kaiser Window, β	Transition Width of Equivalent Kaiser Window
Rectangular	-13	$4\pi/(M+1)$	-21	0	$1.81\pi/M$
Bartlett	-25	$8\pi/M$	-25	1.33	$2.37\pi/M$
Hanning	-31	$8\pi/M$	-44	3.86	$5.01\pi/M$
Hamming	-41	$8\pi/M$	-53	4.86	$6.27\pi/M$
Blackman	-57	$12\pi/M$	-74	7.04	$9.19\pi/M$



Observación espectral con Matlab

Programa **ventanas.m**

Inicio

```
clear all
fs=1;
N=100;
x=blackman(N);
x2=hamming(N);
x3=hanning(N);
x4=ones(1,N);
hold on
plot(x)
plot(x2,'r-.')
plot(x3,'k--')
plot(x4,'m:')
xlabel('Tiempo [n]')
legend('Blackman','Hamming','Hanning','Rectangular')
hold off
```

Continuación

```
%espectro
N1=10000;
f=(-N1/2:N1/2-1)*(fs/N1);
y=fftshift(fft(x,N1));
y2=fftshift(fft(x2,N1));
y3=fftshift(fft(x3,N1));
y4=fftshift(fft(x4,N1));

figure(2)
hold on
plot(f,20*log10(abs(y)/max(abs(y))))
plot(f,20*log10(abs(y2)/max(abs(y2)))), 'r-.')
plot(f,20*log10(abs(y3)/max(abs(y3))), 'k--')
plot(f,20*log10(abs(y4)/max(abs(y4))), 'm:')

grid
xlabel('Frecuencia [rad/s]')
ylabel('Densidad Espectral de Potencia en dB')
legend('Blackman','Hamming','Hanning','Rectangular')
hold off
```